



Chair of Condensed Matter Physics
Institute of Theoretical Physics
Faculty of Physics, University of Warsaw

Semester Zimowy 2012/2013

Wykład

Modelowanie Nanostruktur

Jacek A. Majewski

E-mail: Jacek.Majewski@fuw.edu.pl



Modelowanie Nanostruktur, 2012/2013

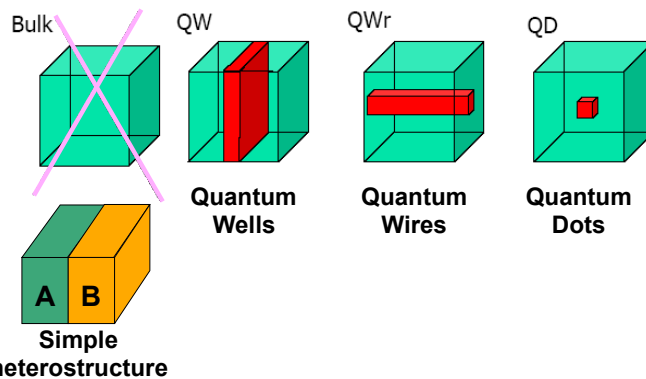
Jacek A. Majewski

Wykład 3 – 9 X 2012

Metody ciągłe w modelowaniu nanostruktur

Metoda masy efektywnej dla studni kwantowej

Nanotechnology – Low Dimensional Structures



What about realistic nanostructures ?

Inorganics

3D (bulks) : 1-10 atoms in the unit cell

2D (quantum wells): 10-100 atoms in the unit cell

1D (quantum wires): 1 K-10 K atoms in the unit cell

0D (quantum dots): 100K-1000 K atoms in the unit cell

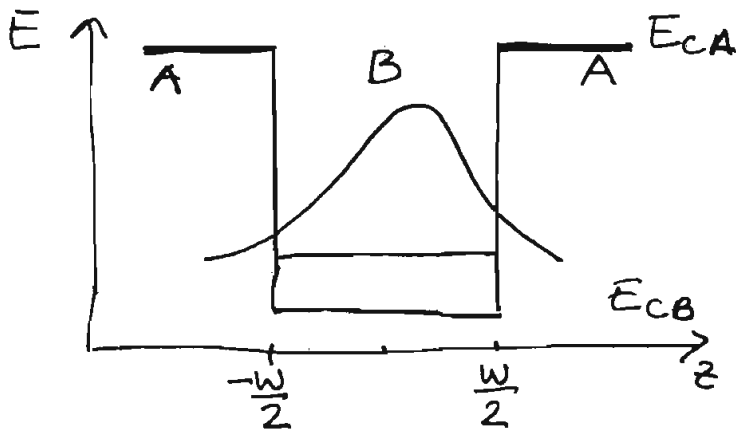
Organics

Nanotubes, DNA: 100-1000 atoms (or more)

WYKŁAD 2, 9.10.2012

CZĘŚĆ II

STANY ZWIĄZANE W STUDNI KWANTOWEJ



$$m_A^* \neq m_B^*$$

$$E_{CA} \neq E_{CB}$$

$$-\frac{\hbar^2}{2m_A^*} \nabla^2 F(\vec{r}) = (E - E_{CA}) F(\vec{r}) \quad \text{dla } |z| > \frac{W}{2} \quad (1)$$

$$-\frac{\hbar^2}{2m_B^*} \nabla^2 F(\vec{r}) = (E - E_{CB}) F(\vec{r}) \quad \text{dla } |z| < \frac{W}{2}$$

Warunki brzegowe na granicy materiałów A i B

$$\left\{ \begin{aligned} F^{(A)}(\vec{r}) &= F^{(B)}(\vec{r}) \\ \frac{1}{m_A^*} \nabla F^{(A)}(\vec{r}) &= \frac{1}{m_B^*} \nabla F^{(B)}(\vec{r}) \end{aligned} \right.$$

Skąd drugi warunek \Leftarrow równość prądów $j^{(A)}(\vec{r}) = j^{(B)}(\vec{r})$

$$\begin{aligned} j^{(A)}(\vec{r}) &= \frac{i\hbar}{2m_A^*} (F^{(A)}(\vec{r}) \nabla F^{(A)*} - c.c.) = \\ &= \frac{i\hbar}{2m_B^*} (F^{(B)}(\vec{r}) \nabla F^{(B)*} - c.c.) = j^{(B)}(\vec{r}) \end{aligned}$$

• W kierunku x, y ~~potencjał~~ potencjał jest jednorodny (staty potencjał)

• Potencjał zmienia się tylko w kierunku z

Funkcja obwiedni F może być przedstawiona w postaci

$$F(\vec{r}) = e^{ik_x x} e^{ik_y y} \mathcal{F}(z)$$

Wstawiając do równania (1) mamy:



$$\frac{\hbar^2}{2m_A^*} \left[-\frac{d^2}{dz^2} + k_u^2 \right] \chi(z) = (E - E_{CA}) \chi(z) \quad \text{dla } |z| > w/2 \quad 2-2$$

$$\frac{\hbar^2}{2m_B^*} \left[-\frac{d^2}{dz^2} + k_u^2 \right] \chi(z) = (E - E_{CB}) \chi(z) \quad \text{dla } |z| < w/2$$

$$\text{gdzie } k_u^2 = k_x^2 + k_y^2$$

Jesteśmy zainteresowani stanami związanymi
czyli $E_{CA} > E > E_{CB}$

Problem jest symetryczny
względem $z=0$

$$\chi(z) = B \begin{cases} \sin(k_z z) \\ \cos(k_z z) \end{cases} \quad \text{dla } |z| < w/2$$

$$\chi(z) = A e^{-\alpha z} \quad \text{dla } |z| > w/2$$

$$\text{gdzie } k_z := \sqrt{\frac{2m_B^* (E - E_{CB})}{\hbar^2} - k_u^2}$$

$$\alpha := \sqrt{\frac{2m_A^* (E_{CA} - E)}{\hbar^2} + k_u^2}$$

Warunki brzegowe prowadzą do równań

$$A e^{+\alpha w/2} = B \begin{cases} -\sin(k_z \frac{w}{2}) \\ \cos(k_z \frac{w}{2}) \end{cases}$$

$$\frac{A \alpha}{m_A^*} e^{+\alpha w/2} = \frac{B k_z}{m_B^*} \begin{cases} \cos(k_z \frac{w}{2}) \\ \sin(k_z \frac{w}{2}) \end{cases}$$

i dalej do równań transcendentalnych na energii E

$$\begin{cases} -\tan(k_z \frac{w}{2}) \\ \cot(k_z \frac{w}{2}) \end{cases} = \frac{m_A^*}{m_B^*} \frac{k_z}{\alpha}$$

Te równania można rozwiązać numerycznie
wartości własne przyjmują postać

$$E = E_u(k_u) + \frac{\hbar^2 k_u^2}{2m_B^*}$$

Kurs mechaniki kwantowej

$$m_A^* = m_B^* = m_0; \quad k_u = 0; \quad E_{CA} - E_{CB} = V_0$$



STANY ZWIĄZANE W STUDNI Kwantowej

zasada wariacyjna (Ritza)

$$E = \frac{\langle \psi | H | \psi \rangle}{\langle \psi | \psi \rangle} \geq E_0$$

równość wtedy i tylko wtedy, gdy ψ jest stanem podstawowym o energii własnej E_0 , czyli ψ_0

INACZEJ SFORMULOWANA ZASADA WARIACYJNA
ZASADA WARIACYJNA z warunkiem pobocznym dodatkowym

$$F[\psi] = \langle \psi | H | \psi \rangle$$
$$\Phi[\psi] = \langle \psi | \psi \rangle - 1 \quad \Phi(\psi_0) = 0 \text{ warunkiem dodatkowym}$$

$$\tilde{F}[\psi] := F[\psi] + \lambda \Phi[\psi]$$

λ - dowolna liczba rzeczywista
mnożnik Lagrange'a

Jeżeli F ma w ψ_0 wartość ekstremalną z warunkiem dodatkowym $\Phi[\psi_0] = 0$ to musimy być spełnione równania

$$(a) \left. \begin{aligned} \frac{\delta \tilde{F}}{\delta \psi} |_{\psi_0} &= \frac{\delta F}{\delta \psi} |_{\psi_0} + \lambda \frac{\delta \Phi}{\delta \psi} |_{\psi_0} \\ (b) \frac{\partial \tilde{F}}{\partial \lambda} |_{\psi_0} &= \Phi[\psi_0] = 0 \end{aligned} \right\} \Rightarrow \psi_0, \lambda$$

Jeżeli znaleźliśmy stan podstawowy ψ_0, E_0 to stosując zasadę wariacyjną możemy znaleźć pierwszy wzbudzony

$$E_1 = \min \langle \psi_1 | H | \psi_1 \rangle \text{ z warunkami dodatkowymi}$$
$$\langle \psi_1 | \psi_1 \rangle = 1 \quad \text{ oraz } \langle \psi_1 | \psi_0 \rangle = 0.$$

itd..

Bardzo ważny przykład: szukamy ψ w postaci

$$\psi = \sum_{i=1}^N c_i \psi_i \quad \{ \psi_i \} - \text{zbiór znanych funkcji}$$

chcemy znaleźć równanie na współczynniki c_i (odpowiadające funkcjom własnym) oraz energie własne

$$J := \langle \psi | H | \psi \rangle = \sum_i \sum_j c_i^* c_j \langle \varphi_i | H | \varphi_j \rangle = \sum_i \sum_j c_i^* c_j H_{ij} \quad (2-4)$$

el. macierowe

$$I := \langle \psi | \psi \rangle = \sum_{i=1}^N \sum_{j=1}^N c_i^* c_j S_{ij}$$

gdzie $S_{ij} := \langle \varphi_i | \varphi_j \rangle$

$S_{ij} = \delta_{ij}$ gdy $\{\varphi_i\}$ ortonormalny układ funkcji

$$\frac{\partial}{\partial c_k^*} (J + \lambda (I - 1)) \quad \left. \begin{array}{l} \\ \\ \end{array} \right\} k=1 \dots N$$

$$\sum_{j=1}^N c_i^* c_j S_{ij} - 1 = 0$$

$$\Rightarrow \begin{cases} \sum_{j=1}^N H_{kj} c_j + \lambda \sum_{j=1}^N S_{kj} c_j = 0 \\ \text{oraz } \sum_{i,j=1}^N c_i^* c_j S_{ij} = 1 \end{cases}$$

$$\lambda = -E$$

$$\begin{bmatrix} H_{11} & H_{12} & \dots & H_{1N} \\ \vdots & \vdots & \ddots & \vdots \\ H_{N1} & H_{N2} & \dots & H_{NN} \end{bmatrix} \begin{bmatrix} c_1 \\ \vdots \\ c_N \end{bmatrix} = E \begin{bmatrix} S_{11} & S_{12} & \dots & S_{1N} \\ \vdots & \vdots & \ddots & \vdots \\ S_{N1} & S_{N2} & \dots & S_{NN} \end{bmatrix} \begin{bmatrix} c_1 \\ \vdots \\ c_N \end{bmatrix}$$

Wogólnione zagadnienie własne

Procedura znajdowania stanów związanych dla układu fizycznego o Hamiltonianie H

(1) wybrać układ funkcji bazy $\{\varphi_i\}$ najlepiej ortonormalny

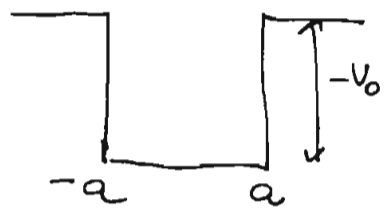
(2) Policzyc elementy macierowe Hamiltonianu $H_{ij} := \langle \varphi_i | H | \varphi_j \rangle$

(3) Przeprowadzić diagonalizację macierzy H_{ij}
 $\hat{A} \bar{c} = E \bar{c}$, która da stany własne (energje i wektory własne)



Problem policzyć stany związane w studniach kwantowych o następujących kształtach

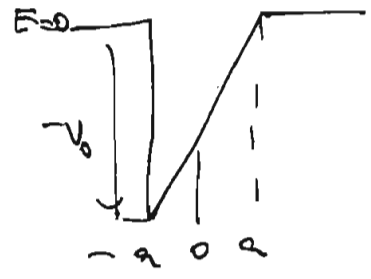
① prostokątna studnia kwantowa



$$V(z) = \begin{cases} 0 & |z| > a \\ -V_0 & |z| \leq a \end{cases}$$

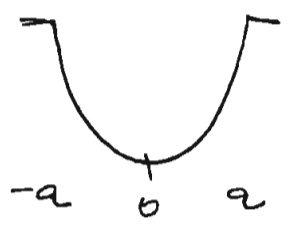
$V_0 \geq 0$

② trójkątna studnia kwantowa



$$V(z) = \begin{cases} 0 & |z| \geq a \\ \frac{V_0}{2} \left(\frac{z}{a} - 1 \right) & |z| < a \end{cases}$$

③ paraboliczna studnia kwantowa

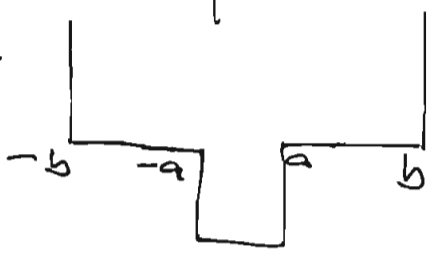


$$V(z) = \begin{cases} 0 & |z| > a \\ \frac{V_0}{a^2} z^2 - V_0 & |z| \leq a \end{cases}$$

Jakie funkcje wziąć za funkcje bazy? $\{\phi_n\}$

Jako ϕ_i bierzemy funkcje własne nieskończonej studni potencjału o szerokości $2b$

$b > a$



~~$\phi_n(z) = \frac{1}{\sqrt{2b}} e^{i \frac{n\pi}{2b} z}$~~

$$\phi_n^{(+)}(z) = \frac{1}{\sqrt{b}} \cos\left(n - \frac{1}{2}\right) z \frac{\pi}{b}$$

$$E_n^{(+)} = \frac{\hbar^2}{2m^*} \frac{\pi^2}{b^2} \left(n - \frac{1}{2}\right)^2$$

$$\phi_n^{(-)}(z) = \frac{1}{\sqrt{b}} \sin \frac{n\pi}{b} z$$

$$E_n^{(-)} = \frac{\hbar^2}{2m^*} \frac{\pi^2}{b^2} n^2$$

$n = 1, 2, 3, \dots$

$\sigma \in \{+, -\}$

$$H = -\frac{\hbar^2}{2m^*} \frac{d^2}{dz^2} + V(z)$$

m^* - nie zależy od z

$H\psi = E\psi$ gdzie $\psi(z) = \sum_{\sigma n} c_{\sigma n} \phi_n^{(\sigma)}(z)$

Parysk i nieparzyste stany.



$$\int_{-b}^b [\phi_n^{(\sigma)}(z)]^* \phi_{n'}^{(\sigma')} dz = \delta_{nn'} \delta_{\sigma\sigma'}$$

Maciowy potężny element reakcyjne

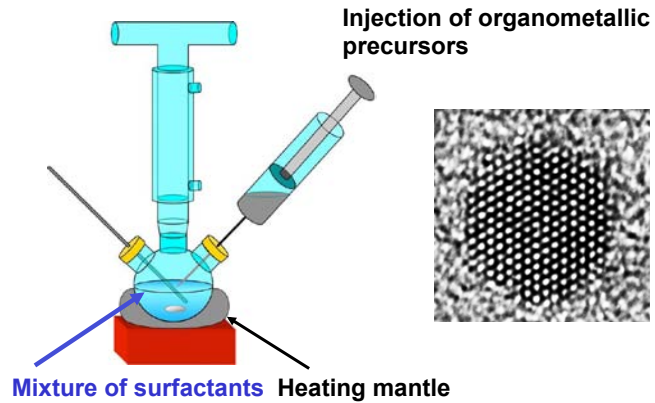
$$\langle \phi_n^{(\sigma)} | \hat{H} | \phi_{n'}^{(\sigma')} \rangle = H_{n\sigma, n'\sigma'} = T_{n\sigma, n'\sigma'} + V_{n\sigma, n'\sigma'}$$

gdzie

$$T_{n\sigma, n'\sigma'} := \langle \phi_n^{(\sigma)} | -\frac{\hbar^2}{2m^*} \frac{d^2}{dz^2} | \phi_{n'}^{(\sigma')} \rangle$$

$$V_{n\sigma, n'\sigma'} := \langle \phi_n^{(\sigma)} | V(z) | \phi_{n'}^{(\sigma')} \rangle$$

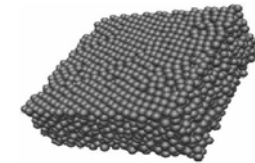
Synthesis of colloidal nanocrystals



Nanostructures: colloidal crystals

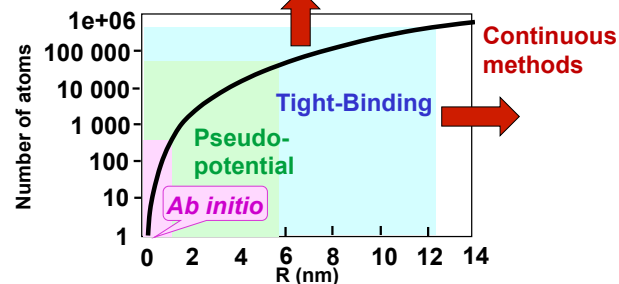


-Crystal from sub- μm spheres of PMMA (perpex) suspended in organic solvent;
- self-assembly when spheres density high enough;



Atomistic vs. Continuous Methods

- Microscopic approaches can be applied to calculate properties of realistic nanostructures



Number of atoms in a spherical Si nanocrystal as a function of its radius R. Current limits of the main techniques for calculating electronic structure. Nanostructures commonly studied experimentally lie in the size range 2-15 nm.

Atomistic methods for modeling of nanostructures

- Ab initio methods** (up to few hundred atoms)
- Semiempirical methods** (up to 1M atoms)
 - (Empirical Pseudopotential)
 - Tight-Binding Methods**
- Continuum Methods** (e.g., effective mass approximation)

Continuum theory- Envelope Function Theory

Electron in an external field

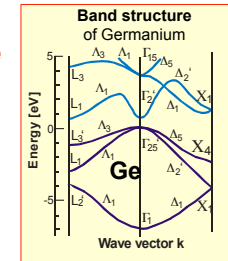
$$\left[\frac{\hat{p}^2}{2m} + V(\vec{r}) + U(\vec{r}) \right] \psi(\vec{r}) = \epsilon \psi(\vec{r})$$

Periodic potential of crystal

Non-periodic external potential

- Strongly varying on atomic scale
- Slowly varying on atomic scale

$$U(\vec{r}) = 0 \Rightarrow \epsilon_n(\vec{k}) \Rightarrow$$



Electron in an external field

$$\left[\frac{\hat{p}^2}{2m} + V(\vec{r}) + U(\vec{r}) \right] \psi(\vec{r}) = \epsilon \psi(\vec{r})$$

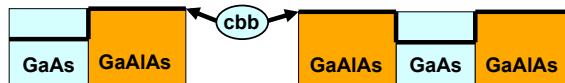
Periodic potential of crystal

Non-periodic external potential

- Strongly varying on atomic scale
- Slowly varying on atomic scale

Which external fields ?

- Shallow impurities, e.g., donors $U(\vec{r}) = -\frac{e^2}{\kappa|\vec{r}|}$
- Magnetic field B , $\vec{B} = \text{curl}\vec{A} = \nabla \times \vec{A}$
- Heterostructures, Quantum Wells, Quantum wires, Q. Dots



- Does equation that involves the effective mass and a slowly varying function exist ?

$$\left(\frac{\hat{p}^2}{2m^*} + U(\vec{r}) \right) F(\vec{r}) = \epsilon F(\vec{r}) \quad F(\vec{r}) = ?$$

Envelope Function Theory – Effective Mass Equation

J. M. Luttinger & W. Kohn, Phys. Rev. B **97**, 869 (1955).

$$[\epsilon(-i\vec{\nabla}) + U(\vec{r}) - \epsilon] F_n(\vec{r}) = 0 \quad (\text{EME})$$

EME does not couple different bands

$$\psi(\vec{r}) = F_n(\vec{r}) u_{n0}(\vec{r})$$

"True" wavefunction

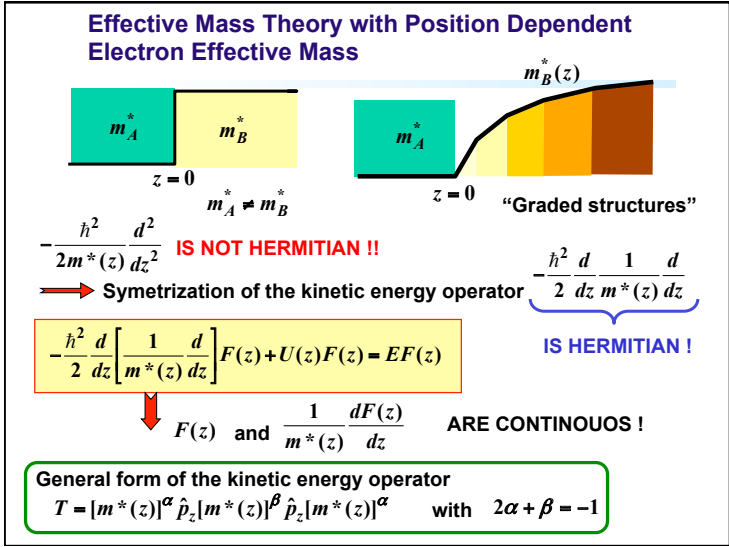
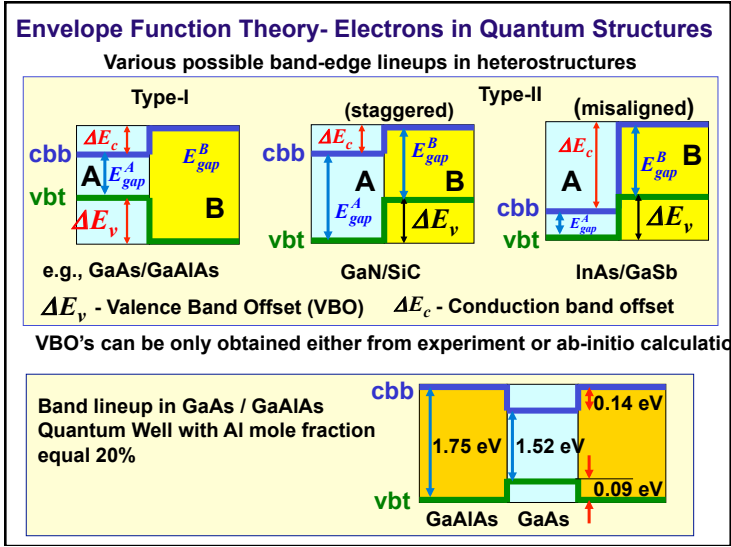
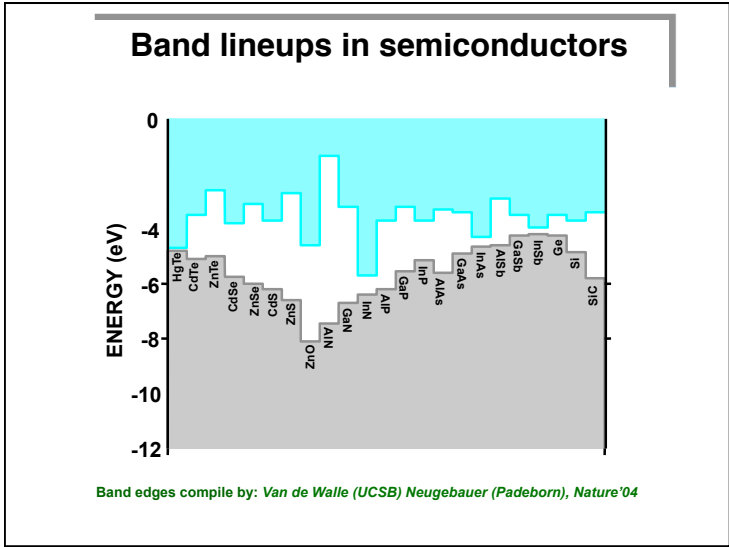
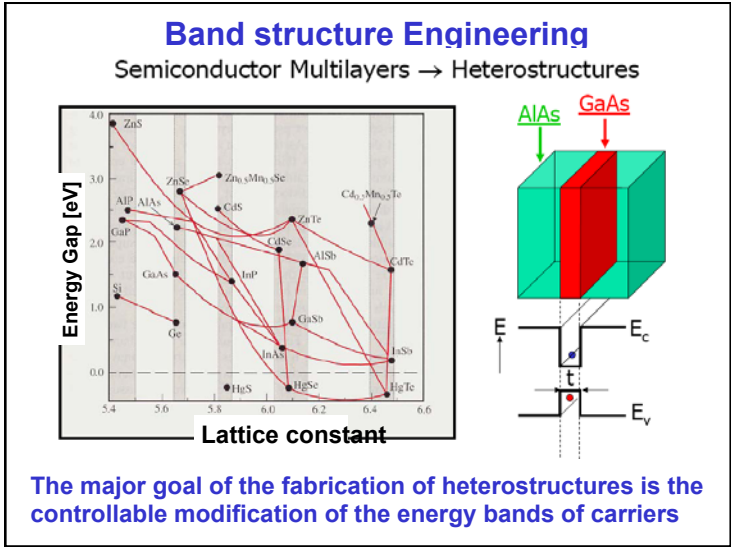
Envelope Function

Periodic Bloch Function

- Special case of constant (or zero) external potential

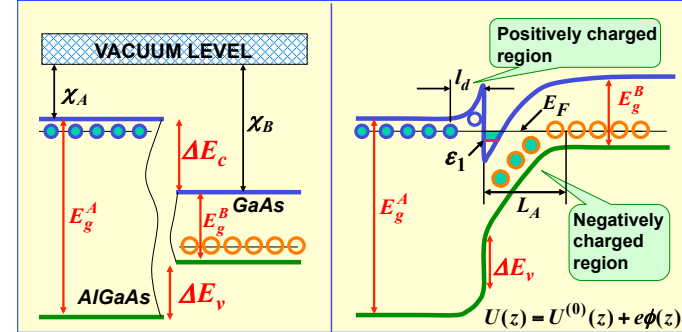
$$U(\vec{r}) = 0 \Rightarrow F_n(\vec{r}) = \exp(i\vec{k} \cdot \vec{r}) \Rightarrow \psi(\vec{r}) \text{ Bloch function}$$

- $U(z) \Rightarrow F_n(\vec{r}) = \exp[i(k_x x + k_y y)] F_n(z)$



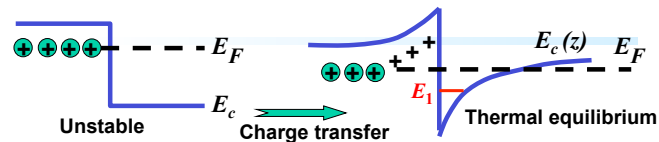
Doping in Semiconductor Low Dimensional Structures

Energy band diagram of a selectively doped AlGaAs/GaAs Heterostructure before (left) and after (right) charge transfer



- χ_A and χ_B - The electron affinities of material A & B
- The Fermi level in the GaAs material is supposed to be pinned on the donor level.
- The narrow bandgap material GaAs is slightly p doped.

Effects of Doping on Electron States in Heterostructures



Resulting electrostatic potential

$$\nabla^2 \Phi(\vec{r}) = \frac{4\pi e}{\epsilon} \left[\sum_{(acc)} \delta(\vec{r} - \vec{R}_A) - \sum_{(don)} \delta(\vec{r} - \vec{R}_D) - \sum_{\nu} f_{\nu} |\psi_{\nu}(\vec{r})|^2 \right]$$

should be taken into account in the Effective Mass Equation

$$\left[-\frac{\hbar^2}{2m^*} \left(\frac{\partial^2}{\partial x^2} + \frac{\partial^2}{\partial y^2} + \frac{\partial^2}{\partial z^2} \right) + U(x, y, z) - e\Phi(\vec{r}) \right] \psi_{\nu}(\vec{r}) = E_{\nu} \psi_{\nu}(\vec{r})$$

Electrostatic potential can be obtained from the averaged acceptor and donor concentrations

$$\nabla^2 \Phi(\vec{r}) = \frac{4\pi e}{\epsilon} \left[N_A(\vec{r}) - N_D(\vec{r}) - \sum_{\nu} f_{\nu} |\psi_{\nu}(\vec{r})|^2 \right]$$

- The self-consistent problem, so-called "Schrödinger-Poisson" problem

To be continued!